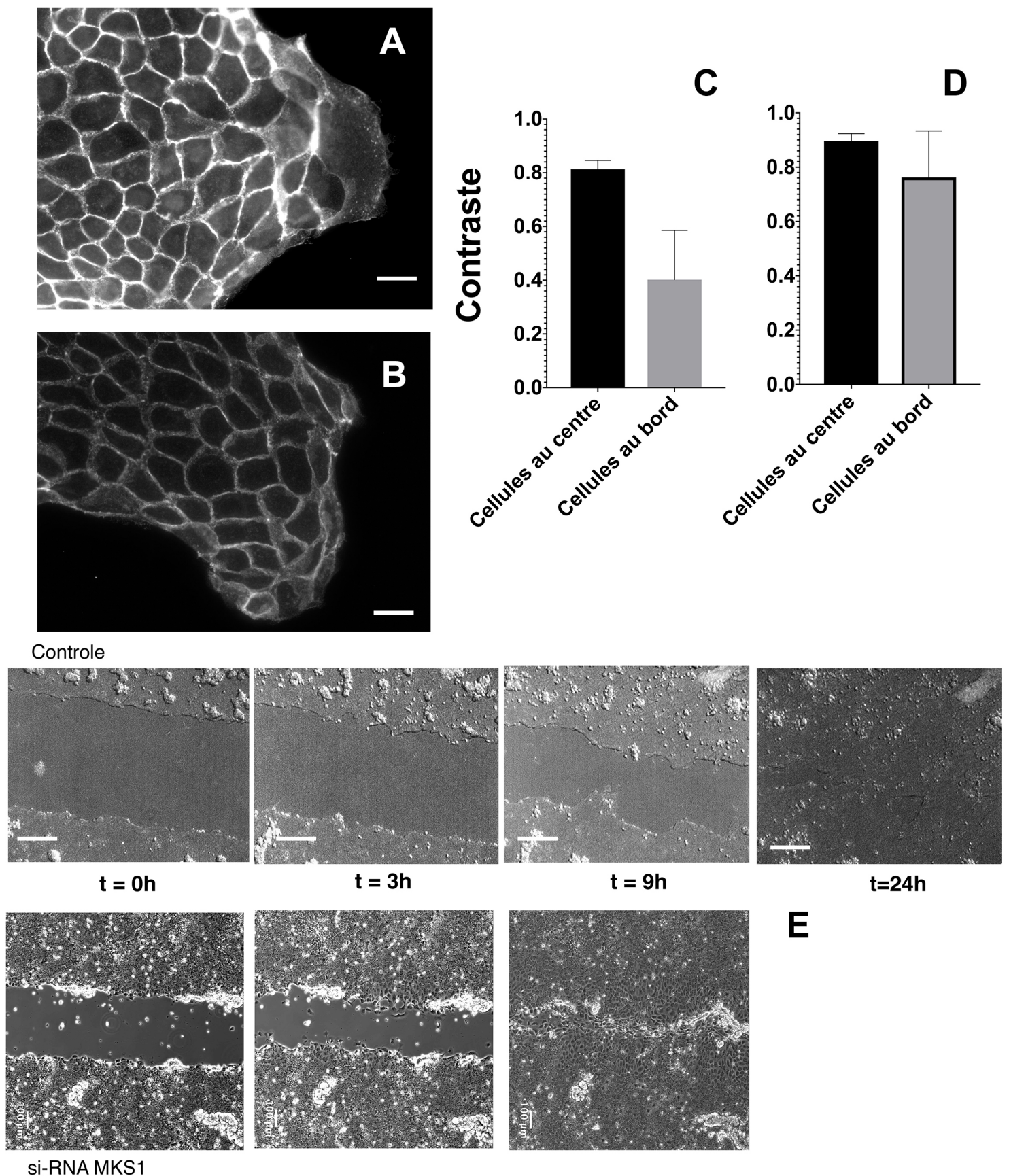


Figure 1 : Présentation du système d'étude et de ses paramètres.

(A) Schéma du fonctionnement et de l'utilisation expérimentale de la boîte *Ibidi*. (B) Evolution d'une migration de cellules MDCK en conditions contrôles. Barre d'échelle : 200 $\mu\text{m}$ . (C) Trajectoire de cinq cellules leaders et (D) les vitesses des fronts cellulaire. Barre d'échelle : 100 $\mu\text{m}$ . (E) Vitesse moyenne du front cellulaire (contrôle), sans chimiotactisme (S.C.) et sans sérum foetal de veau SBF. (F) Immunodétection par fluorescence de l'actine dans les cellules MDCK. Mise en valeur d'une cellule leader de la migration. Fluorescence par anticorps secondaire. Barre d'échelle: 50 $\mu\text{m}$ . (G) Schéma de la réorganisation du réseau d'actine lors de la transition épithélium-mésenchyme des cellules durant de la migration des cellules.



**Figure 2 : Localisation cellulaire et effet de la protéine MKS1 sur la migration collective**  
 Immunodétection de MKS1 en conditions contrôles (A) et pour des MDCK dont le gène codant pour MKS1 a été inhibé (B). L'anticorps à MKS1 utilisé est couplé à un anticorps secondaire fluorescent. (C - D) Contraste moyen de fluorescence entre la membrane cellulaire et le cytoplasme pour les cellules situées sur le front cellulaire (bord) et pour les cellules au coeur du tissu (centre), pour les deux conditions d'expression de MKS1: respectivement (C) et (D). (E) Migration cellulaire en conditions contrôles (controle) et avec MKS1 inhibé (si-RNA).

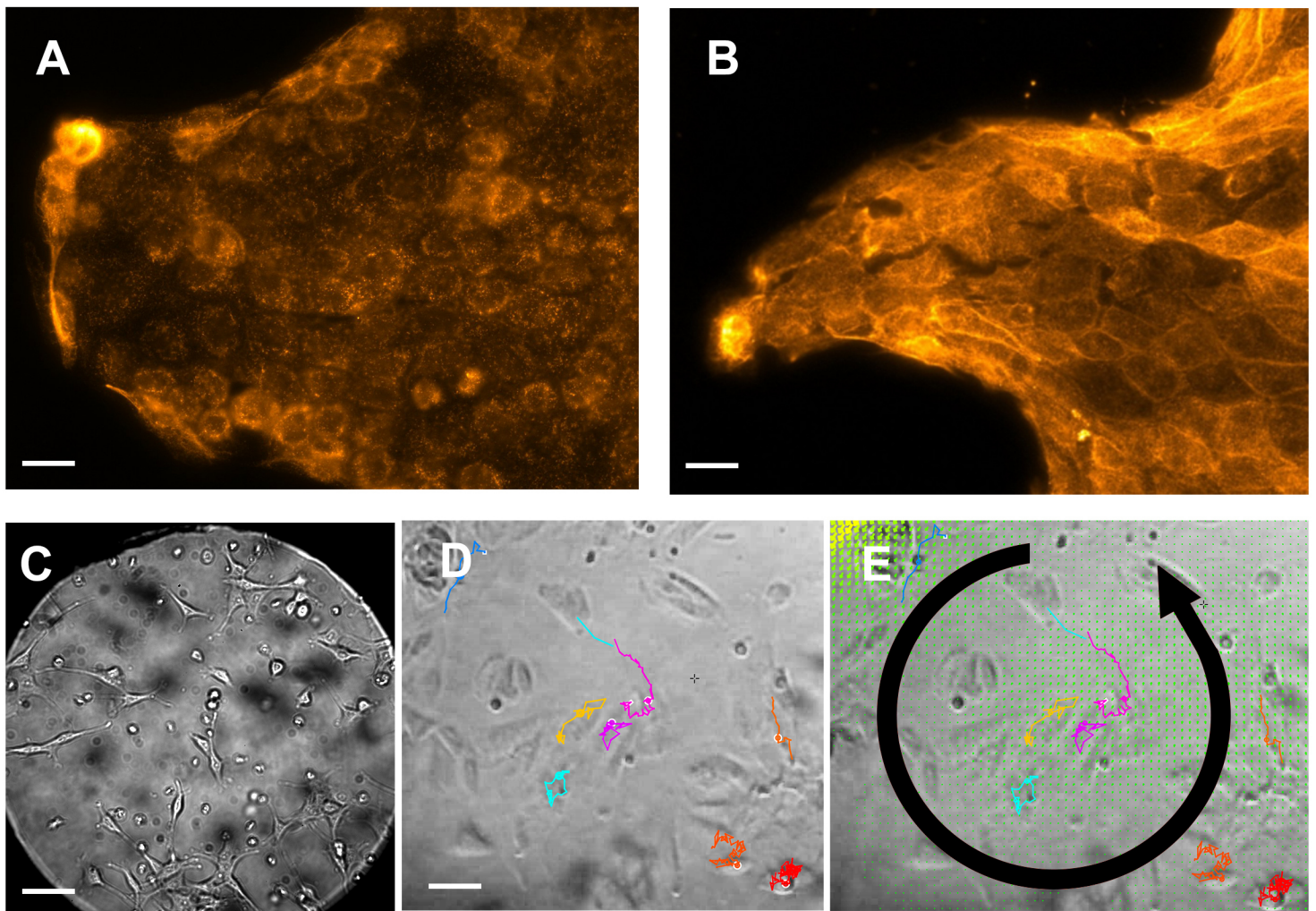


Figure 3 : Effet de MKS1 sur la kératine et début de modèle de cellules individuelles pour la migration.

Immunodétection de la kératine en conditions contrôles (A) et pour des MDCK dont le gène codant pour MKS1 a été inhibé (B). L'anticorps utilisé est couplé à un anticorps secondaire fluorescent. Barre d'échelle : 10 $\mu$ m. (C) Observation au microscope optique de fibroblastes en conditions contrôles. Barre d'échelle : 20 $\mu$ m. (D) Trajectoires des fibroblastes au cours d'une migration contrôle. Barre d'échelle : 50 $\mu$ m. (E) Tendance des vecteurs vitesses des fibroblastes au cours de la migration contrôle.